鋼矢板の引抜きに伴う地盤変状に関する遠心模型実験(その1)

信州大学工学部 正〇梅崎健夫, 正 河村 隆 東洋建設(株)鳴尾研究所 正 鶴ヶ崎和博,正 宮本順司

旭化成ジオテック(株) 正 関下啓誠

(株)日本触媒 正 岡本功一, 正 服部 晃

1.はじめに 土留め工に用いられる鋼矢板などの引抜き撤去において、土と鋼矢板との間の付着力や摩擦力が原因となり、付着した土塊が排出されて(写真-1(a))、地盤変状を引き起こす問題が生じている。その対策として、吸水性高分子摩擦低減剤(以下、FC剤と称す)を塗布する工法が開発されている ^{1), 2)}. FC剤は、打設後、地盤中の間隙水との接触により吸水膨潤(ゲル化)して、土と埋設体の間に分離層を形成する。その摩擦係数は、土の内部摩擦角の 1/30~1/50 程度と非常に小さく ^{3), 4)}、土の付着を抑制することで、地盤変状を大幅に低減する。引抜き後の地表面には、鋼矢板の厚さと同程度の小さな隙間が残るだけである (写真-1(b), (c)) ^{1), 2)}.

本文は、FC 剤を用いた地盤変状の低減効果の検証に対する端緒である. FC 剤を塗布した鋼矢板の引抜き遠心模型実験を実施し、地盤変状および引抜き力について検討した.

土槽 (高さ H=45.0cm, 幅 W=55.0cm, 奥行き D=15.0cm) 2. 実験概要 内に鋼矢板打設後の模型地盤を作製し(写真-2), 50G 遠心場において 引抜き実験を実施した. 試料には5号硅砂と6号硅砂を混合したもの(土 粒子密度 ρ_s =2.638g/cm³, 平均粒径 D_{50} =0.40mm, 最大・最小乾燥密度 ρ_{dmax} =1.574g/cm³, ρ_{dmin} =1.260g/cm³) を用いた. 模型鋼矢板には, H=16.0cm, (根入れ長 L=12.5cm, 50G 換算: 6.25m), D=14.5cm, 厚さ t=0.3cm (50G 換算:15cm)の鋼板に,FC剤を塗布(200g/m²)したものを用いた(写 真-3(a)). 土層底部の治具を用いて模型鋼矢板を鉛直に設置し(写真 -3(b)), 相対密度 D_{i} =80%(乾燥密度 ρ_{i} =1.499g/cm³)となるように, 土槽内で試料を締め固めた. 地盤内には, 写真-2 に示すように, 画 像解析用の測点を設置した. 試料の層厚は 12.5cm (50G 換算: 6.25m) とした. 地盤内に通水して飽和させた後, 12 時間以上放置すること により、FC 剤を吸水膨潤 (ゲル化) させた. そして、50G 遠心場に て, 引抜き速度 0.09mm/s (50G 換算: 2.7m/min) で模型鋼矢板を引 き抜いた. 実験中は, 模型鋼矢板の引抜き変位および引抜き力を計 測し、土槽前面に取り付けたカメラにより、測点の撮影を行った.

3. 結果および考察 写真-4 および図-1 に鋼矢板引抜き前後の地盤変位を,図-2 に各測点の鉛直変位および水平変位をそれぞれ示す.





(a)無処理

(b)FC 剤を塗布処理



(c)FC 剤を塗布処理した鋼矢板の引抜き跡 写真-1 III 型鋼矢板の引抜き状況(粘性土地盤)¹⁾

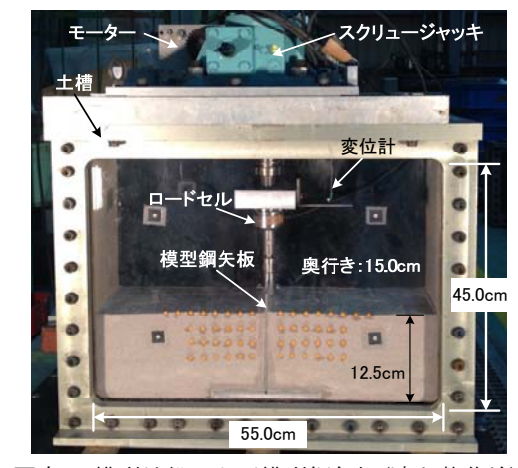
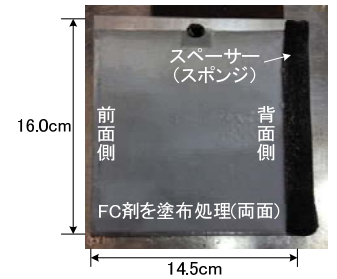
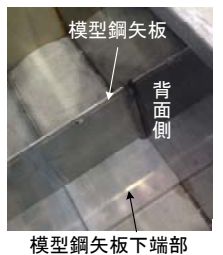


写真-2 模型地盤および模型鋼矢板(遠心載荷前)





(a)模型鋼矢板

の設置治具 (b)設置状況

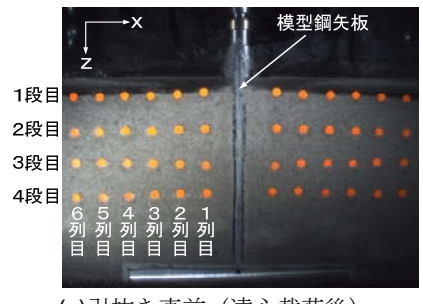
写真-3 模型鋼矢板の設置状況

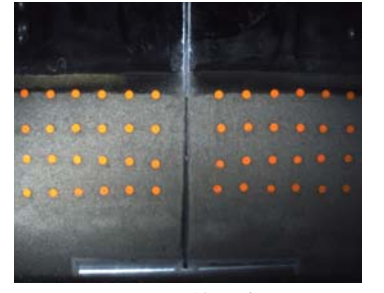
写真-4(a)に示すように、引抜き前に FC 剤(片面)が厚さ 1.5mm 程度(50G 換算:7.5cm 程度)に吸水膨潤(ゲル化)している。写真-4(b)に示すように、鋼矢板の引抜きに伴う土の排出は生じず、鋼矢板のみが引き抜かれる。実験後には孔壁にゲル化した FC 剤の付着を確認しており、FC 剤は分離層として機能することが確認された。引抜き終了直後には、空洞は地表面付近を除いて完全には閉塞していない。

図-1 に示すように、地盤変位は、鋼矢板の引抜きに伴って生じた空洞に向かう方向に生じており、周辺地盤は主

キーワード:鋼矢板、引抜き、地盤変状、遠心模型実験、吸水性高分子、周面摩擦

連絡先: 〒380-8553 長野市若里 4-17-1 信州大学工学部土木工学科 TEL&FAX: 026-269-5291





(a)引抜き直前(遠心載荷後)

(b)引抜き終了直後

写真-4 鋼矢板引抜き前後の地盤変位

働方向に変形する.

図-2(a)に示すように、地盤の鉛直変位は、ほぼ左右対称に生じている. 50G 換算の厚さ 15cm の鋼矢板を引き抜いた本実験では、鋼矢板近傍の地表面で最大値 200mm 程度の沈下が生じる. 鋼矢板の長さ 6.25m と同程度の距離で、鉛直変位はほぼ収束しており、引抜きに伴う地盤変状の影響範囲は、図-1 に破線で示したように、鋼矢板の下端から約 45°の範囲であると推定される. 図-2(b)に示すように、地盤の水平変位もほぼ左右対称であり、鋼矢板近傍の地表面において最大値 140mm 程度主動方向に変位している.

III 型鋼矢板(厚さ:13mm)を 50G 遠心場で再現するためには、模型鋼矢板の厚さを 0.26mm とする必要があるが、その実験は困難である. そのため、模型鋼矢板の厚さを変えた複数の実験を実施し、その結果を外挿して、III 型鋼矢板に対する地盤変状を定量評価する予定である.

図-3に鋼矢板の単位幅あたりの引抜き力と引抜き変位の関係を示す. ここで、 F_{max} : 引抜き力の最大値、 F_0 : 模型鋼矢板と治具の自重に起因する引抜き力であり、鋼矢板表面(片面)に作用する最大摩擦力は、 $F=(F_{\text{max}}-F_0)/2=0.14$ kN/m として算定される。図-1に示したとおり、鋼矢板の引抜きに伴い地盤は主働方向に変形する. 土圧係数が静止土圧係数 $K_0=0.5$ から主働土圧係数 $K_a=0.3$ の間であると仮定し、ランキン土圧により水平力 P を算定して、 $F=P\tan\delta$ (δ : 鋼矢板表面で発揮される摩擦角)を用いれば、 $\delta=0.1\sim0.2$ ° 程度と算定される。一方、別途実施した一面せん断試験によって求めた FC 剤の摩擦角は、 $\delta=1$ ° ($c_{\text{fc}}=0$) である 3,40. いずれの場合も摩擦角は非常に小さい.

4.まとめ FC 剤を塗布した鋼矢板の引抜き遠心模型実験を実施し、以下に示す知見が得られた. (1)引抜きに伴う土塊の排出は生じない. 引抜き時の摩擦角は&1°以下であり、非常に小さい. (2)鋼矢板の引抜きに伴う地盤変状の影響範囲は、鋼矢板の下端から約 45°の範囲と推定される. 今後、模型鋼矢板の厚さを変えた実験を実施し、実際の条件に対応する地盤変状について定量評価を行う.

謝辞 本研究は、JSPS 科研費(基盤研究(C)、No.25420499) の援助を受けた. ここに付記して感謝の意を表します.



面摩擦力を低減する吸水性高分子材料の開発,土木学会論集 C (地圏工学), Vol.67, No.4, pp.407-421, 2011. 2)フリクションカッター施工編,株式会社日本触媒,2005. 3)梅崎健夫,河村 隆,古久根晋太郎,小林優太,岡本功一,服部 晃:鋼材に塗布した吸水性高分子摩擦低減剤の摩擦特性(その1),信州大学環境科学年報,37 号,pp.83-89,2015. 4)梅崎健夫,河村 隆,古久根晋太郎,小林優太,岡本功一,服部 晃:吸水性高分子摩擦低減剤のせん断特性に及ぼす吸水量の影響,第50回地盤工学研究発表会,2015 (印刷中).

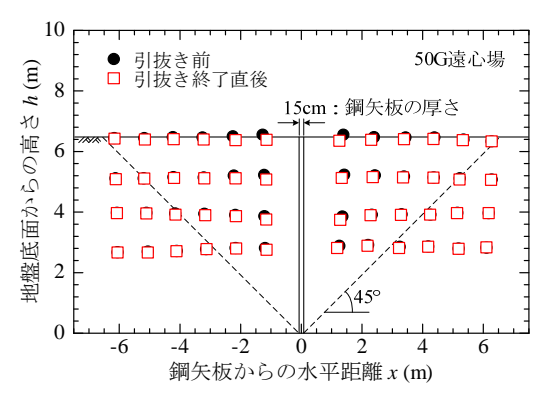
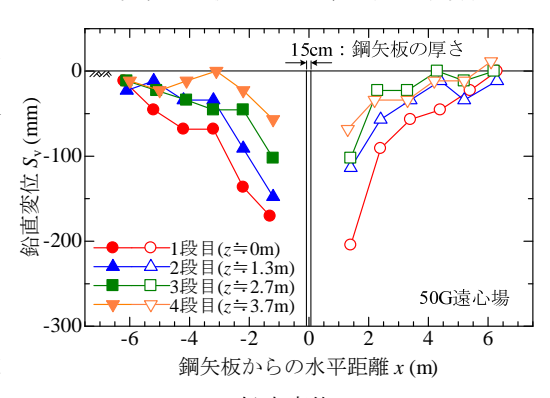
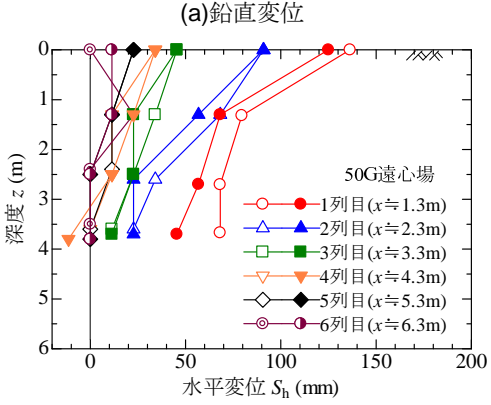


図-1 引抜き前後の地盤変位(50G換算)





(b)水平変位(主働方向を正とする)

図-2 地盤変位(50G換算)

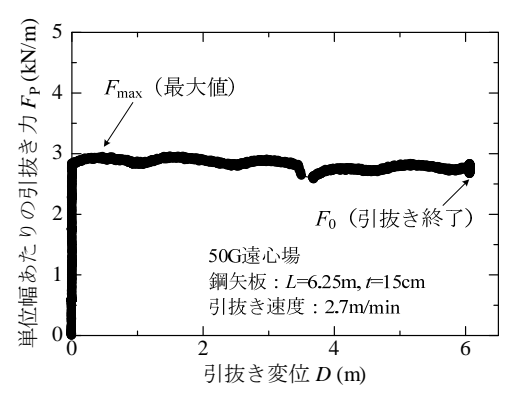


図-3 引抜き変位と引抜き力の関係(50G換算)